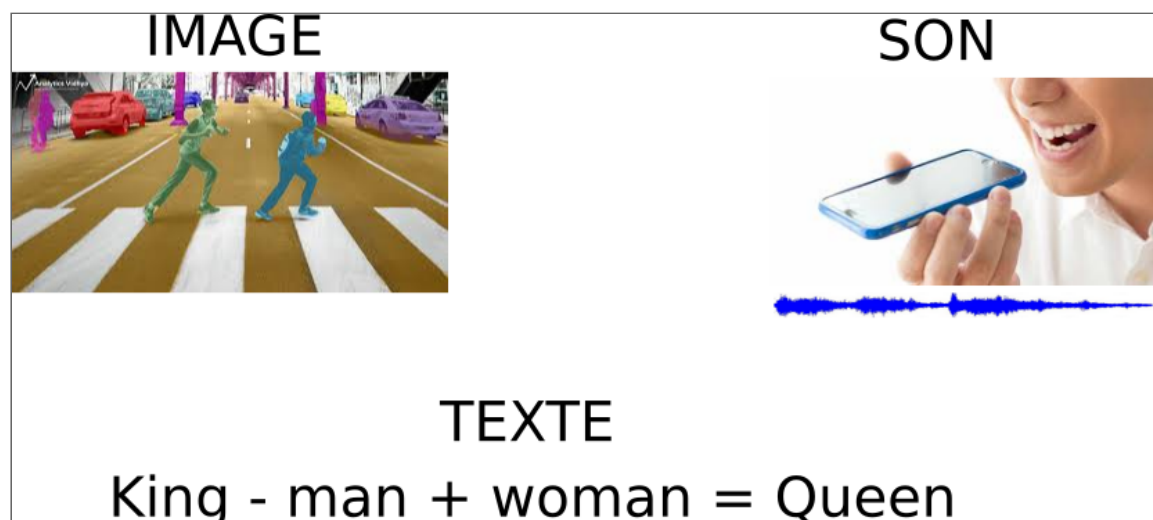


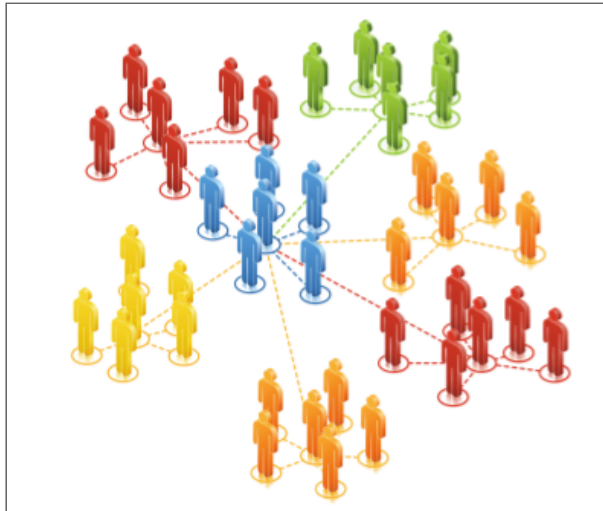
# APPRENDRE SUR DES GRAPHS

# PREMIERS SUCCÈS DU DEEP LEARNING (2010)



Depuis 2016, on entend de plus en plus parler de "Graph neural networks"

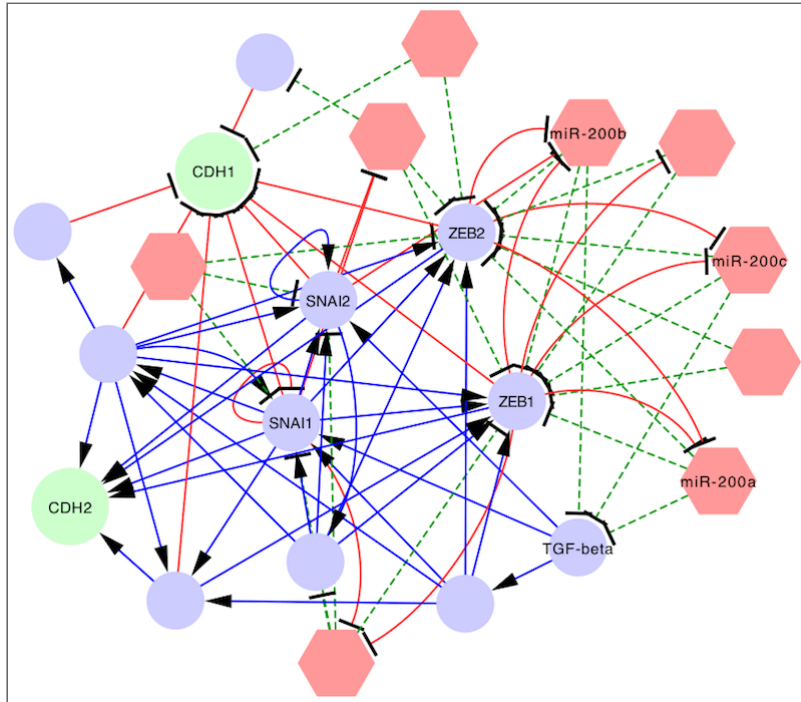
# POURQUOI LES GRAPHS?



Analyse des réseaux sociaux

- Détection de communautés
- Reconnaissance de profils de clients (ou de terroriste)

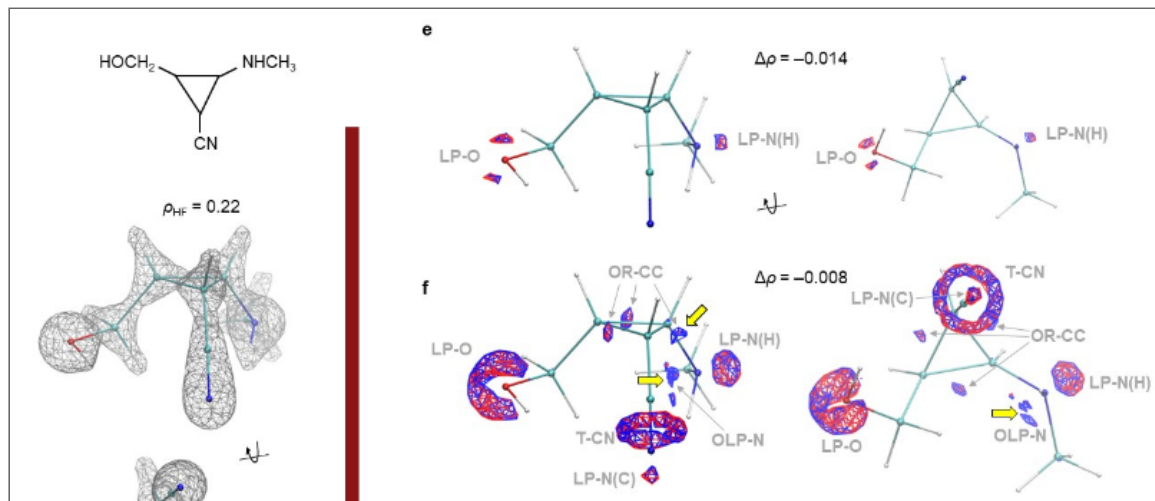
# POURQUOI LES GRAPHS?



Réseau de co-expression de gènes

- Prédiction de caractéristiques génétiques

# POURQUOI LES GRAPHS?

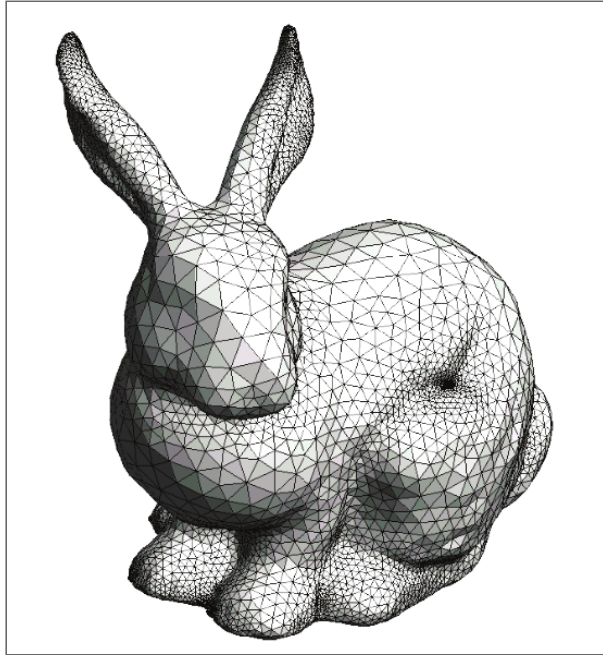


## Chimie quantique

- Prédiction des propriétés des molécules

Gimler et al. Neural Message Passing for Quantum Chemistry, JMLR 2017

# POURQUOI LES GRAPHERS?

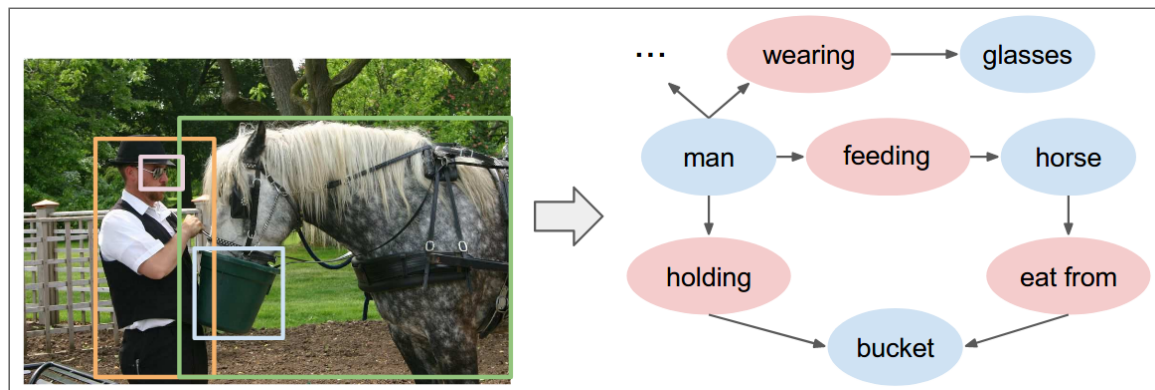


Traitement des nuages de points 3D.

- Capturer la géométrie d'une forme
- Classification, détection, segmentation

Qi et al. PointNet: Deep Learning on Point Sets for 3D Classification and Segmentation, CVPR 2017

# POURQUOI LES GRAPHEES?



Diviser pour mieux régner!

- Problèmes trop complexes à traiter de front
- CNN modélise mal les relations

Xu et al. Scene graph generation by iterative message passing, ICCV 2017

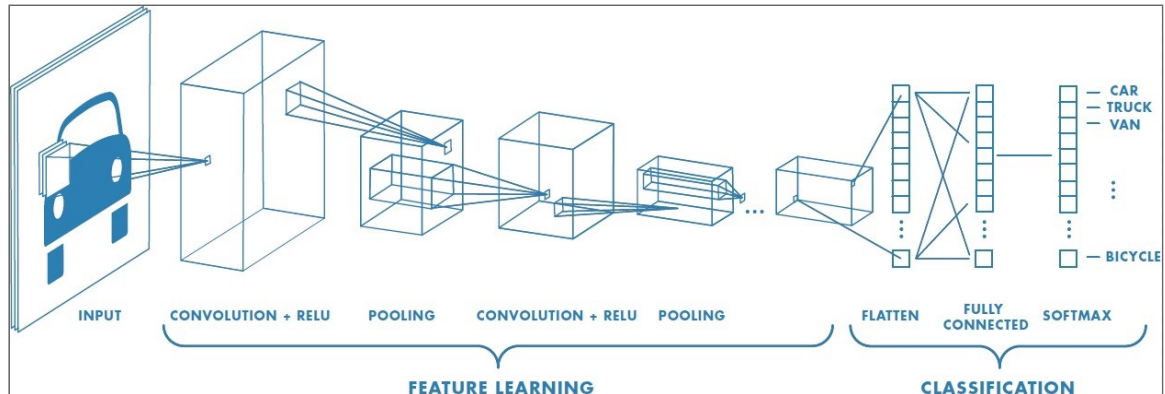
# TAXONOMIE DES PROBLÈMES

- Prédiction au niveau du noeud.
  - Transductif: prédiction au sein du même graphe
  - Inductif: Apprendre et tester sur des graphes différents
- Prédiction au niveau de l'arc.
  - Y-a-t'il une relation entre les noeuds  $i$  et  $j$ ?
- classification globale du graphe.

On veut prendre en compte les descripteurs ET la topologie du graphe



# PROPRIÉTÉS UTILES DES CNNs



- Invariance à la translation: convolution
- Filtres localisés dans l'espace
- Séparation des échelles: composition et pooling.
- Nbre de paramètres indépendants de la taille de l'image

# DIFFICULTÉS DANS LE CAS DES GRAPHS

- La translation n'est plus définie
- La notion de distance non plus
- Le domaine varie
- En fait, la plupart des modules du CNN doivent être redéfinies

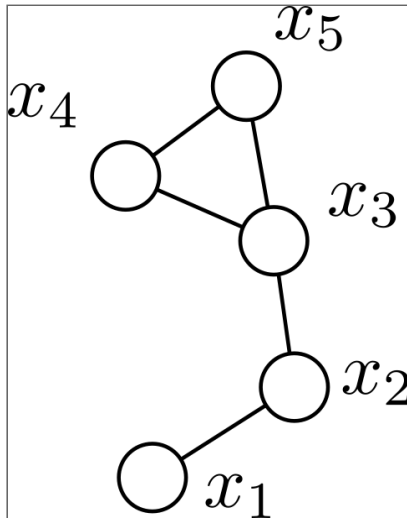
Comment apprendre sur un espace non euclidien?

Bronstein, Geometric deep learning: going beyond euclidean data IEEE Signal Proc. 2017

# PARTIE 1 THÉORIE

Filtrage par modulation des valeurs propres du Laplacien

## QUELQUES NOTATIONS



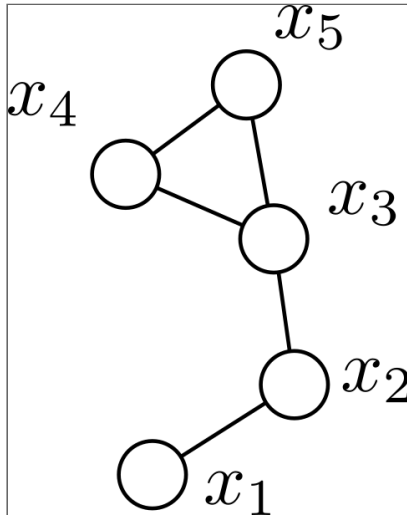
Soit  $G(E, V)$  un graphe avec

- un ensemble de noeuds  
 $V = V_i, i \in 1..N$
- un ensemble d'arcs  
 $E = e_{ij}(i, j) \in 1..N \times 1..N$
- Chaque noeud  $v_i$  est décrit par un vecteur  $f_i$

# QUELQUES NOTATIONS

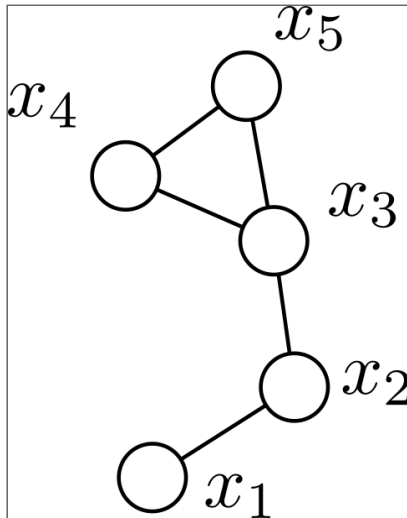
Matrice d'adjacence

$A \in B^{N \times N}$ ,  $A(i,j) = 1$  si  $(i,j)$



$$\begin{bmatrix} 0 & 1 & 0 & 0 & 0 \\ 1 & 0 & 1 & 0 & 0 \\ 0 & 1 & 0 & 1 & 1 \\ 0 & 0 & 1 & 0 & 1 \\ 0 & 0 & 1 & 1 & 0 \end{bmatrix}$$

# QUELQUES NOTATIONS

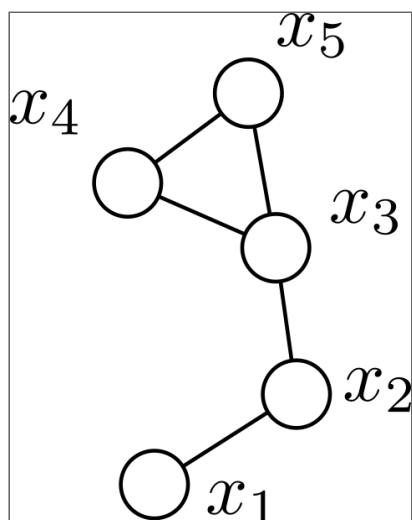


Matrice des degrés

$$D \in \mathbb{N}^{N \times N}, D(i, i) = \sum_j A(i, j)$$

$$\begin{bmatrix} 1 & 0 & 0 & 0 & 0 \\ 0 & 2 & 0 & 0 & 0 \\ 0 & 0 & 3 & 0 & 0 \\ 0 & 0 & 0 & 2 & 0 \\ 0 & 0 & 0 & 0 & 2 \end{bmatrix}$$

# QUELQUES NOTATIONS



La matrice laplacienne

$$\Delta = D - A$$

$$\begin{bmatrix} 1 & -1 & 0 & 0 & 0 \\ -1 & 2 & -1 & 0 & 0 \\ 0 & -1 & 3 & -1 & -1 \\ 0 & 0 & -1 & 2 & -1 \\ 0 & 0 & -1 & -1 & 2 \end{bmatrix}$$

# INTÉRPRÉTATION DU LAPLACIEN

- Cette laplacienne encode la topologie du graphe

$$(\Delta f)_i = \sum_j a_{ij}(f_i - f_j)$$

où  $f = f_1, \dots, f_n$  contient les descripteurs 1D des noeuds.

- L'opérateur s'apparente donc à la différence entre un noeud et son voisinage.
- Opérateur qui transforme le signal d'entrée  $f$  en fonction de la topologie du graphe



# RAPPEL SUR FOURIER

- Projection d'un signal  $x$  de son espace original par une base orthogonale

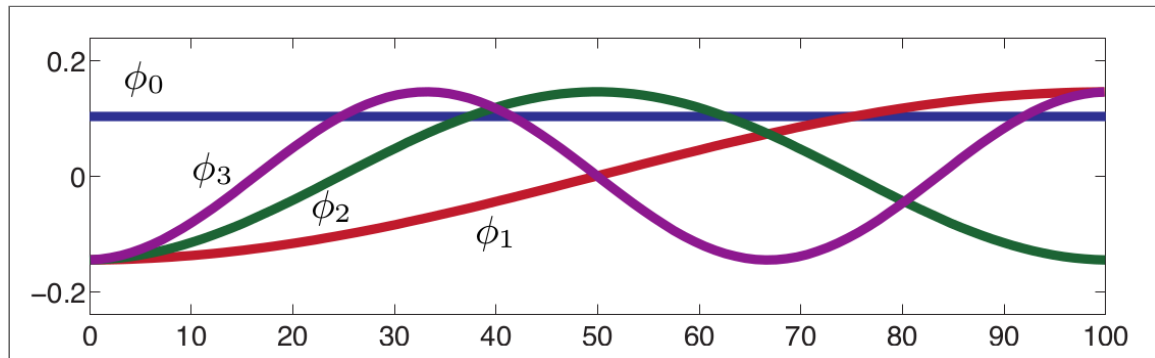
$$(f \star k)(\xi) = \int_{-\inf}^{\inf} f(x)e^{-i\xi x} dx$$

- Filtrage d'un signal dans l'espace des fréquences
- Lien entre les deux espaces

$$F(f * g) = F(g)F(f)$$

# INTERPRÉTATION DES VECTEURS DE LA BASE

Dans le cas d'une transformée s'appuyant sur des cosinus

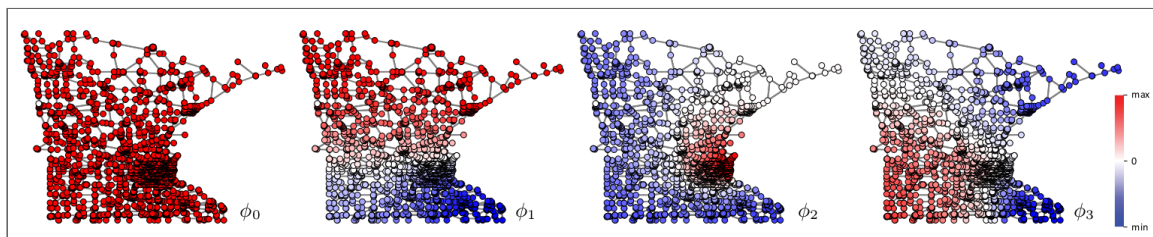


# APPLICATION AUX GRAPHS

L'analogue de Fourier sur des graphes utilise la décomposition en valeur propre du Laplacien

$$\Delta = \Phi \Lambda \Phi$$

Visualisation des vecteurs propres  $\Phi_i$  du Laplacien



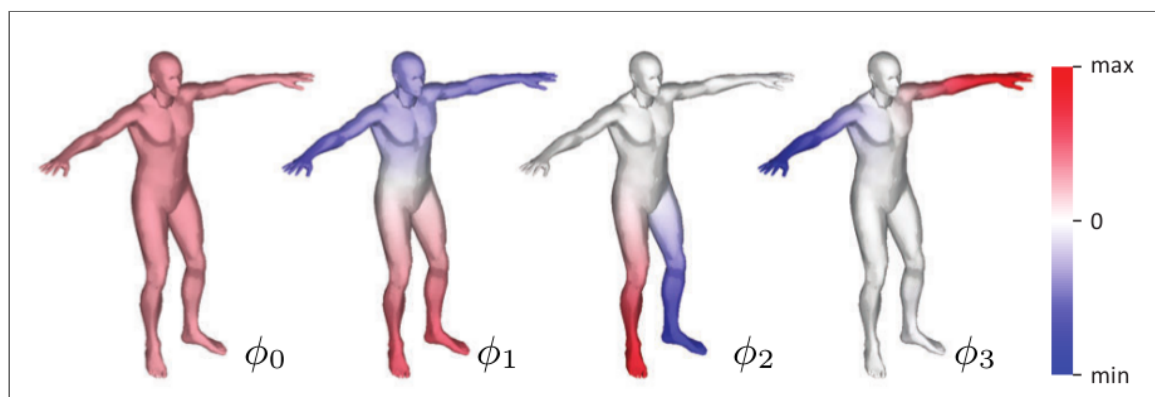
Réseau routier de l'état de New-York

# APPLICATION AUX GRAPHES

L'analogue de Fourier sur des graphes utilise la décomposition en valeur propre du Laplacien

$$\Delta = \Phi \Lambda \Phi$$

Visualisation des vecteurs propres  $\Phi_i$  du Laplacien



spectral theorem add the justification that you the number of eigen values which are 0 is the number of connected components, and that you have 1 on the eigen vectors.

# CONVOLUTION DE GRAPHS

La non définition de la translation empêche de convoluer dans l'espace du graphe.

Mais on peut multiplier dans l'espace des vecteurs propres du Laplacien.

# CONVOLUTION DE GRAPHES

Une couche de convolution spectrale est définie par:

$$g_l = \sigma\left(\sum_{l'=1}^p \Phi_k W_{l,l'} \Phi_k^T f_{l'}\right)$$

- $F = (f_1 \dots f_p)$  est le signal d'entrée
- $G = (g_1 \dots g_q)$  est le signal de sortie
- $\Phi_k$  contient les  $k$  premiers vecteurs propres
- $W_{l,l'}$  est une matrice de poids de taille  $k \times k$

# CONVOLUTION SUR DES GRAPHS

Une couche de convolution spectrale est définie par:

$$g_l = \sigma\left(\sum_{l'=1}^p \Phi_k W_{l,l'} \Phi_k^T f_{l'}\right)$$

- $W$  peut être vu comme un modulateur des valeurs propres du laplacien  $\Delta$



# QUELQUES PROBLÈMES

- Coût en calcul: décomposition en valeurs propres du Laplacien
- Filtres non localisés (la décomposition en vecteurs propres est globale)
- Dépendant du domaine
  - 2 graphes  $\neq \Rightarrow$  2 laplaciens  $\neq$

Il faut adapter celà à la pratique

# SIMPLIFICATION

- Utilisation de décomposition en polynômes:

$$\Phi_k W_{l,l'} \Phi_k^T \approx \sum_{k=1}^K \theta_k T_k(\Delta)$$

- avec  $K = 1$ , une couche de convolution devient

$$G = \sigma(\tilde{\Delta} F W)$$

- avec  $\tilde{\Delta}$  un laplacien normalisé et  $W$  une matrice de poids

# QU'AVONS NOUS GAGNÉ?

## Graph Convolutional Network (GCN)

$$G = \tilde{\Delta}FW$$

- Plus de décomposition en valeurs propres
- Localisation des filtres à cause de la nature locale du Laplacien

Kipf et al, Semi-supervised classification with graph convolutional networks, ICLR 2017

# LIEN AVEC L'ENVOI DE MESSAGES

La multiplication du signal par le laplacien comme un opérateur 1-hop

Autrement dit, le descripteur du noeud  $i$  est mis à jour uniquement en fonction des descripteurs de ses voisins.

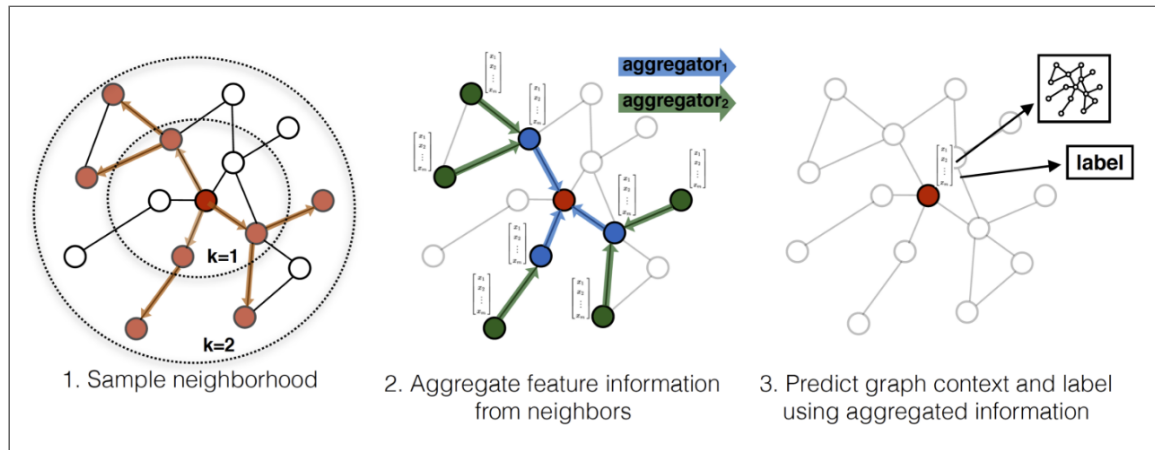
# DERNIER PROBLÈME

Graph Convolutional Network (GCN)

$$G = \tilde{\Delta}FW$$

Ces méthodes sont transductive par nature  
(2 graphes  $\neq \Rightarrow$  2 laplaciens  $\neq$ )

# GRAPHSAGE: UNE MÉTHODE INDUCTIVE



- Apprendre un modèle générique de messages
- indépendamment de la position du noeud  $i$ .
- Partage des poids

# GRAPHSAGE: UNE MÉTHODE INDUCTIVE

**Algorithm 1:** GraphSAGE embedding generation (i.e., forward propagation) algorithm

**Input** : Graph  $\mathcal{G}(\mathcal{V}, \mathcal{E})$ ; input features  $\{\mathbf{x}_v, \forall v \in \mathcal{V}\}$ ; depth  $K$ ; weight matrices  $\mathbf{W}^k, \forall k \in \{1, \dots, K\}$ ; non-linearity  $\sigma$ ; differentiable aggregator functions  $\text{AGGREGATE}_k, \forall k \in \{1, \dots, K\}$ ; neighborhood function  $\mathcal{N} : v \rightarrow 2^{\mathcal{V}}$

**Output** : Vector representations  $\mathbf{z}_v$  for all  $v \in \mathcal{V}$

```

1  $\mathbf{h}_v^0 \leftarrow \mathbf{x}_v, \forall v \in \mathcal{V}$ ;
2 for  $k = 1 \dots K$  do
3   for  $v \in \mathcal{V}$  do
4      $\mathbf{h}_{\mathcal{N}(v)}^k \leftarrow \text{AGGREGATE}_k(\{\mathbf{h}_u^{k-1}, \forall u \in \mathcal{N}(v)\})$ ;
5      $\mathbf{h}_v^k \leftarrow \sigma(\mathbf{W}^k \cdot \text{CONCAT}(\mathbf{h}_v^{k-1}, \mathbf{h}_{\mathcal{N}(v)}^k))$ 
6   end
7    $\mathbf{h}_v^k \leftarrow \mathbf{h}_v^k / \|\mathbf{h}_v^k\|_2, \forall v \in \mathcal{V}$ 
8 end
9  $\mathbf{z}_v \leftarrow \mathbf{h}_v^K, \forall v \in \mathcal{V}$ 

```

# COUCHE DE CONVOLUTION GÉNÉRALE

$$m_i = \text{AGGREGATE}(\{h_j^{k-1}, j \in N_i\})$$

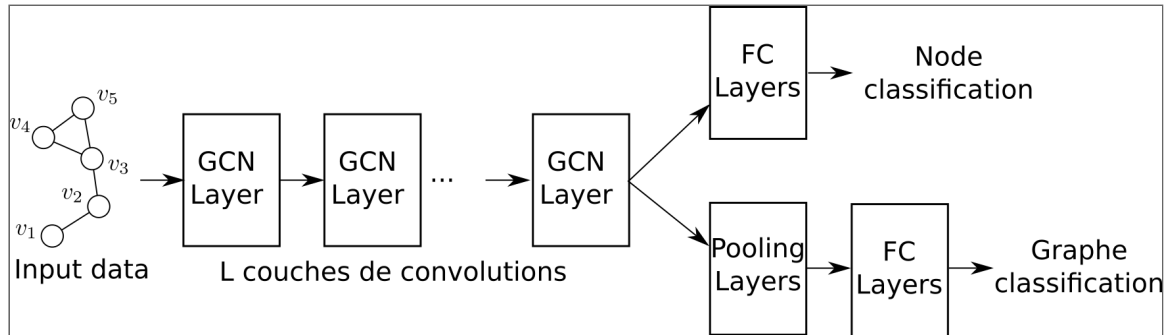
$$h_i^k = \sigma(\text{UPDATE}(h_i, m_i))$$

- Récupérer les états  $h_j^{k-1}, j \in N_i$  de la couche  $k - 1$
- Les agréger pour les transformer en message  $m_i$
- Mettre à jour  $h_i^k$  en utilisant  $m_i$

UPDATE et AGGREGATE peuvent être implémentés par des réseaux de neurones



# UNE ARCHITECTURE CLASSIQUE



- Aggrégation d'information au niveau des couches GCN et du pooling
- Augmenter la profondeur  $\Rightarrow$  propager l'information dans le graphe.

# POSSIBILITÉS POUR AGGREGATE

- couche complètement connectée et aggr. SOMME:

$$m_i = \sum_{j \in N_i} \text{MLP}(h_j)$$

- Somme pondéré par la distance

$$m_i = \sum_{j \in N_i} \text{MLP}(h_j) g(u(h_i, h_j))$$

avec  $u$  distance euclidienne et  $g$  un noyau gaussian.

# POSSIBILITÉS POUR AGGREGATE

- Inclure la différence relative:

$$m_i = \sum_{j \in N_i} \text{MLP}[h_i, (h_i - h_j)]$$

- Pondération avec un mécanisme d'attention

$$m_i = \sum_{j \in N_i} \text{MLP}(h_j a_j) \text{ où } a_j = W[h_j, h_i]$$

Wang et al. Dynamic graph cnn for learning on point clouds, ACM TOG, 2019

# POSSIBILITÉS POUR UPDATE

- Utiliser simplement l'addition
- Voir chaque noeud comme un RNN:

$$h_i = LSTM(h_i, m_i)$$

avec  $m_i$  l'observation et  $h_i$  l'état latent.

- Eventuellement une étape de normalisation  
(Stabilisation du gradient)

# POOLING SUR DES GRAPHERS

Comme pour la fonction merge, on cherche à résumer

- Opérateurs simples: Max, Mean
- Utilisation d'un LSTM

l'information • Utilisation d'un mécanisme d'attention

# ET ÇA MARCHE?

- État de l'art sur des jeu de données étalons (CORA, PROTEINS, SHAPENET)
- Travaux théoriques en cours pour comprendre la puissance de ces méthodes

Des librairies haut niveau très accessibles:

- Pytorch geometric
- DGL (surcouche générique pouvant s'appliquer à pytorch)
- GraphNets de deepmind